

# Realizacija i ispitivanje generatora impulsne komande protivoklopne rakete

Dr Miodrag Kobilarev, dipl.inž.<sup>1)</sup>

Prikazana je hardverska realizacija generatora impulsne komande (GIK) primenom mikroprocesora MC 68000, koji izdaje komande i preko komunikacionog kanala šalje ka raketni sistemu za upravljanje vektorom potiska (UVP). Opisana je hibridna instalacija koja služi za proveru greške merenja ugla i ugaone brzine, zadavanje komandi bez sistema za UVP i sa sistemom za UVP pri konstantnoj i promenljivoj ugaonoj brzini raketne. Na ovaj način je izvršena provera programa rada GIK-a pri izdavanju komandi i korekcija komandi zbog kašnjenja sistema za UVP.

**Ključne reči:** Protivoklopna raketa, upravljanje raketom vektorom potiska, ugaona brzina raketne, generator impulsne komande, slobodni žiroskop.

## Uvod

GENERATOR impulsne komande (GIK) je blok elektrotehnike u uređaju za vođenje i lansiranje (UVL), koji na osnovu izračunatih komandi u računaru lokatora i ugaonog položaja raketne u odnosu na njenu uzdužnu osu, izmerenog žiroskopom, izdaje komande u obliku širinski modulisanih bipolarnih impulsa i preko komunikacionog kanala (mikrokabla) šalje ka raketni sistemu za upravljanje vektorom potiska (UVP) ili nekom drugom upravljačkom sistemu.

Kada izračunate komande iz računara lokatora stignu u GIK, određuju se uglovi pod kojima se interceptori sistema za UVP uključuju  $\varphi_1$  i isključuju  $\varphi_2$ . Određivanje uglova se vrši u dve faze:

U prvoj fazi se odredi sredina sektora  $\varphi_{sr}$  i širina sektora  $\varphi_s$  u kome interceptor treba da bude uključen, a u drugoj fazi se vrši korekcija uglova uključenja i isključenja interceptora uzimajući u obzir vremena kašnjenja: signala od žiroskopa do GIK-a, signala od GIK-a do raketne i sistema za UVP pri izvršenju komande.

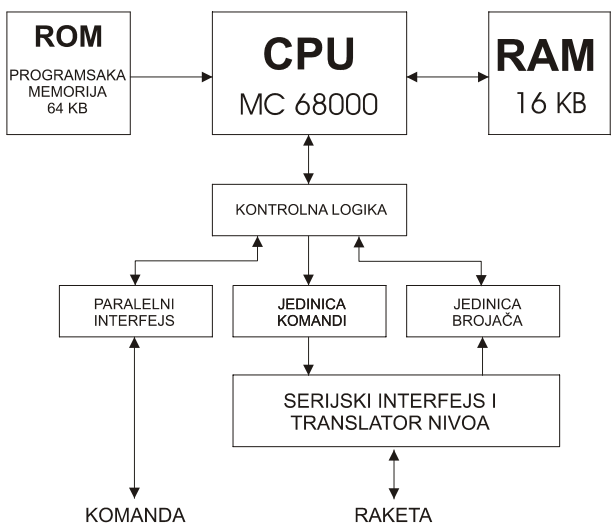
Algoritam rada GIK-a, čija je hardverska realizacija i ispitivanje prikazano u radu, dat je u [1], a opis snažnog sistema za UVP raketne je dat u [2].

## Blok elektronike GIK-a

Blok elektronike GIK-a (sl.1) se sastoji od:

- centralne procesorske jedinice (CPU),
- programske memorije (EPROM-ROM), veličine 64KB u koju je smešten program,
- memorije podataka (RAM), veličine 16KB koja se koristi za smeštaj podataka pri izvršenju programa i kao hardverski stek procesora,
- paralelnog interfejsa za vezu sa procesorom lokatora, preko koga GIK dobija komandu koju treba da izvrši,
- jedinice komandi, kao izlaznog organa GIK-a preko koga se upravlja pokretačima aktuatora sistema za UVP,

- jedinice brojača koja obrađuje podatke dobijene od žiroskopa i precizno određuje ugaoni položaj raketne i - serijskog interfejsa i translatora nivoa, koji vrši prilagodenje GIK-a na trožilni mikrokabl i ostvaruje dvosmernu vezu sa raketom.



Slika 1. Blok-sHEMA hardverske realizacije GIK-a

GIK je realizovan na tri štampane ploče čije su veze i napajanje ostvareni preko osnovne ploče i 64-kontaktnih DIN konektora.

Na prvoj štampanoj ploči se nalaze centralna procesorska jedinica, programska memorija i memorija podataka sa pripadajućim logičkim sklopovima. Softver obezbeđuje maksimalnu brzinu obrade signala u realnom vremenu i za čitav red veličine radi kraće od vremena odziva sistema za UVP. Maksimalan prioritet je dat obradi signala žiroskopa koji generiše dva interupta: jedan od signala vertikale i drugi od signala ugla na svakih 45°.

<sup>1)</sup> Vojnotehnički institut VJ, 11000 Beograd, Katanićeva 15

Drugi, po prioritetu, je interapt primljene komande  $\varphi_s$  i  $\varphi_{sr}$  sa paralelnog interfejsa. Oba podatka su 16-bitna sa rezolucijom od  $0,1^\circ$ . Na osnovu primljene komande i podataka o ugaonom položaju rakete sa žiroskopa GIK, prema algoritmu prikazanom u [1] generišu se komande za uključenje, odnosno isključenje interceptora.

Na drugoj štampanoj ploči je realizovan 32-bitni paralelni interfejs za vezu sa računaru lokatora. Prvi 16-bitni port je namenjen za prijem komandi  $\varphi_s$  i  $\varphi_{sr}$ , a drugi izlazni za slanje podataka o ugaonoj brzini rakete računaru lokatora, kao kontrolni parametar.

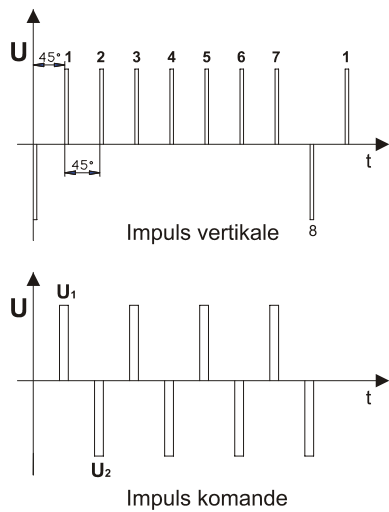
Na trećoj štampanoj ploči su smešteni jedinica brojača, jedinica komandi i serijski interfejs sa translatorom nivoa. Jedinica brojača se sastoji od dva brojača sa pripadajućom logikom koji obezbeđuju interpolaciju ugaonog položaja rakete svakih  $0,5^\circ$ . Minimalno vreme između dva interapta brojača je:

$$\tau = \frac{\frac{1}{n}}{\frac{360^\circ}{0.5^\circ}} = \frac{\frac{1}{10}}{\frac{360^\circ}{0.5^\circ}} = 138.8\mu\text{s} \quad (1)$$

Softverska rutina za opsluživanje interapta traje  $\approx 30-40\mu\text{s}$ , kako bi ostalo dovoljno vremena za izvršenje programa. Zato je za računar GIK-a izabran snažan procesor MC 68000 sa osnovnom frekvencijom takta od 8 MHz.

Jedinica komandi je jednostavan paralelni registar od dva bita, po jedan bit za svaki par interceptora koji se programske setuje.

Serijski interfejs prilagođava, po nivou i impedansu, izlazni registar komandi i ulazna kola signala sa žiroskopa koji su vezani na trožilni mikrokabl. Jedna od tri žile je zajednički vod izvršne komande i signala sa žiroskopa, drugim se prenosi izvršna komanda ka raketni, a trećom žilom se prenose impulsi sa žiroskopa (sl.2).



Slika 2. Izgled signala žiroskopa i komande

### Ispitivanje GIK-a

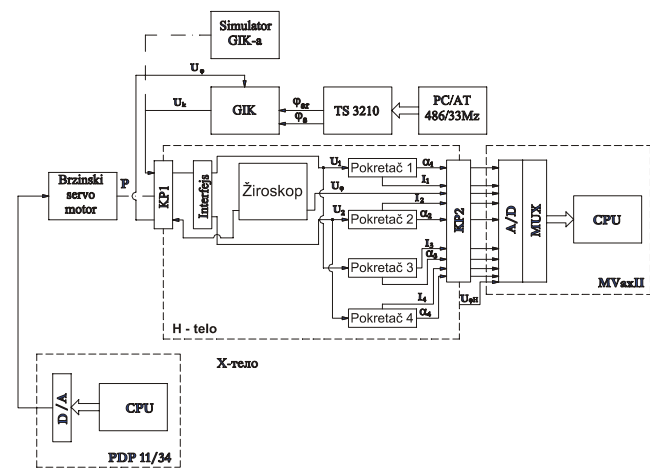
Ispitivanje GIK-a obuhvata:

- ocenu tačnosti merenja ugla i ugaone brzine pri:
- konstantnoj ugaonoj brzini i
- promenljivoj ugaonoj brzini,
- proveru tačnosti zadavanja komandi, bez sistema za UVP, u cilju provere algoritma rada GIK-a i ocene greške pri:

- konstantnoj ugaonoj brzini za različite smerove konstantne i promenljive komande
- promenljivoj ugaonoj brzini za različite smerove konstantne i promenljive komande,
- proveru tačnosti zadavanja komandi, sa dva para interceptora, u cilju provere algoritma rada GIK-a i ocene greške pri:
  - konstantnoj ugaonoj brzini za različite smerove konstantne i promenljive komande i
  - promenljivoj ugaonoj brzini za različite smerove konstantne i promenljive komande.

Instalacija za ispitivanje GIK-a je prikazana na sl.3 i sastoji se od:

- PC/AT 486/33MHz računara koji preko RS kompatibilnog interfejsa TS - 32-I0 zadaje konstantne i promenljive komande GIK-u,
- GIK-a,
- simulatora GIK-a koji služi za proveru bloka elektronike sistema za UVP,
- hibridnog tela (H-telo), koje predstavlja inertni deo raketne, koji se sastoji od odseka bojeve glave u kome je smešten blok elektronika sistema za UVP, inertnog marševskog raketnog motora (MRM) sa sistemom za UVP i prednjeg odseka u kome je smešten žiroskop sa blokom elektronike,
- računara μVAX II koji meri:
  - ugaone položaje interceptora  $\alpha_1, \alpha_2, \alpha_3$  i  $\alpha_4$  kao izlazne napone sa potenciometara,
  - struje kroz elektromagnete  $I_1, I_2, I_3$  i  $I_4$ ,
  - signal iz žiroskopa  $U_\varphi$  i
  - signal vertikale H-tela  $U_{\varphi H}$  kao izlazni napon iz induktivnog blizinskog davača,
- računara PDP 11/34 koji zadaje promenu ugaone brzine H-tela preko D/A konvertora i brzinskog servomotora,
- brzinskog servomotora i
- kliznih prstenova preko kojih se dovode komandni naponi i električno napajanje bloku elektronike sistema sa UVP i bloku elektronike žiroskopa, a veličine koje se mere odvode u računar μVAX II.



MUX - multiplexer  
A/D - analogno – digitalni konvertor  
D/A - digitalno – analogni konvertor  
KPI1, KPI2 - klizni kontakti  
CPU - centralna procesorska jedinica

Slika 3. Instalacija za ispitivanje GIK-a

Funkcija promene ugaone brzine se zadaje programski na računaru PDP 11/34 i preko D/A konvertora zadaje brzinskemu servomotoru koji izvršava komandu i rotira H-telo. Ugaoni položaj i ugaona brzina H-tela se mere

slobodnim žiroskopom koji se zaleće neposredno pred početak eksperimenta i blizinskim induktivnim davačem 1, koji generiše impulse kada mehanički pinovi raspoređeni po obimu adaptera za prihvata H-tela prođu ispred njega. Signal sa žiroskopa se uvodi u GIK i radi kontrole u μVAX II.

Radi provere ispravnosti rada žiroskopa, vertikalni položaj H-tela se registruje blizinskim induktivnim davačem 2, koji generiše impulse  $U_{\varphi H}$ , kada čelični pin prođe ispred njega. Ovaj signal se snima računarom μVAX II.

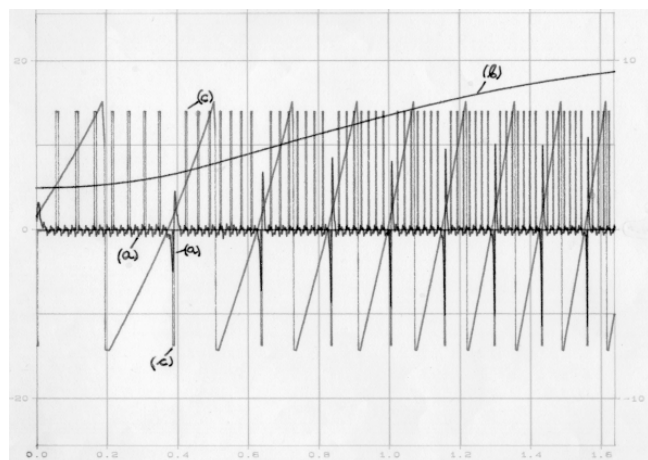
**Tabela 1.** Uzlazne i izlazne veličine X – tela

Red. br.	Uzlazne veličine	Oznaka ulaza	Izlazne veličine	Oznaka izlaza
1	Signal komande iz GIK-a	$U_k$	Signal iz žiroskopa	$U_\varphi$
2	Napon napajanja blokova elektronike H-tela	24 V	Ugaoni položaj interceptora 1	$\alpha_1$
3	Zajednički " -- " kraj	--	Ugaoni položaj interceptora 2	$\alpha_2$
4			Ugaoni položaj interceptora 3	$\alpha_3$
5			Ugaoni položaj interceptora 4	$\alpha_4$
6			Zajednički " -- " kraj	--
7			Struja pokretača 1	$I_1$
8			Struja pokretača 2	$I_2$
9			Struja pokretača 3	$I_3$
10			Struja pokretača 4	$I_4$
11			Komandni napon pokretača 1,3	$U_1$
12			Komandni napon pokretača 2,4	$U_2$

Različite komande  $\varphi_s$  i  $\varphi_{sr}$  se zadaju GIK-u iz računara PC/AT 486/33 MHz, preko RS kompatibilnog interfejsa TS - 32-I0. Za zadate vrednosti komande  $\varphi_s$  i  $\varphi_{sr}$ , GIK generiše signale komande  $\varphi_1$  i  $\varphi_2$  i preko kliznih prstenova  $k_1$  šalje u blok elektronike aktuatora sistema sa UV. Ugaoni položaji interceptora  $\alpha_1, \alpha_2, \alpha_3$  i  $\alpha_4$  se mere potenciometrima i preko kliznih prstenova  $k_2$ , zajedno sa strujama pokretača  $I_1, I_2, I_3$  i  $I_4$  preko A/D konvertora registruju računaru μVAX II. U tabeli 1 su date veličine, koje se preko kliznih prstenova, dovode i odvode sa H-tela.

### Rezultat merenja ugaonog položaja i ugaone brzine

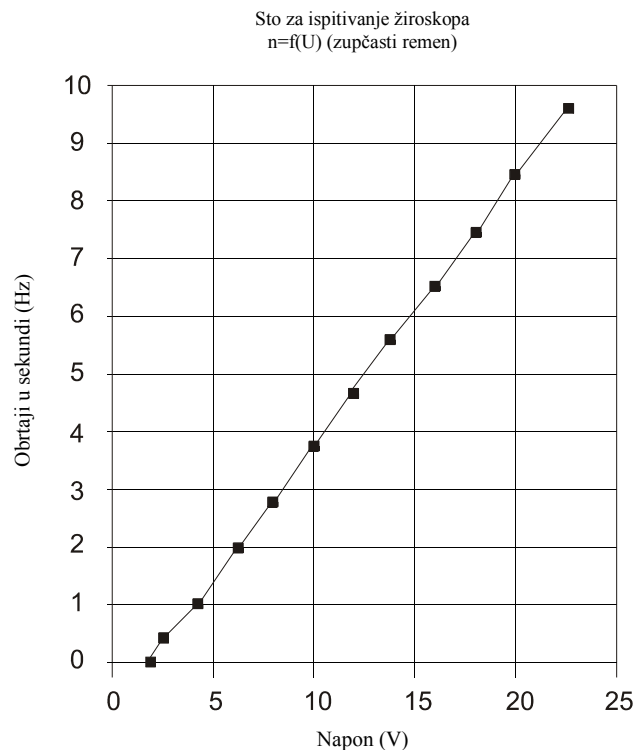
Ugaona brzina H-tela (sl.3) se kontroliše naponom sa D/A konvertora računara PDP 11/34 koji se dovodi na ulaz brzinskog servomotora koji rotira opitni sto sa H-telom. Opitni sto ima jedan stepen slobode, rotaciju oko podužne ose H-tela. Kao što je pomenuto u tački 3, ugaoni položaj i ugaona brzina se mere induktivnim davačima sa obe strane H-tela. Ispred induktivnog davača 1 (označeno sa P sa leve strane H-tela na sl.3) nalazi se prsten sa metalnim pinovima na svakih  $15^\circ$ , a ispred induktivnog davača 2 (označeno sa  $U_{\varphi H}$  sa desne strane H-tela na sl.3) nalazi se samo jedan metalni pin na mestu koje je usvojeno za vertikalni položaj H-tela u smeru zemlje. Impulsi iz induktivnog davača 1 se uvode u integrator koji daje kontinualnu promenu broja obrtaja H-tela u Hz, u funkciju vremena, sl.4.



**Slika 4.** Rezultati merenja ugaonog položaja i ugaone brzine induktivnim davačima: a) impulsni vertikali b) grafik promene ugaone brzine c) signal žiroskopa

Na sl.4 (dijagram a) se vide impulsi vertikali iz induktivnog davača 2 na početku svake perioda rotacije H-tela i kontinualna kriva promene ugaone brzine H-tela na izlazu iz integratora, sl.4 (dijagram b).

Rezultati baždarenja opitnog stola, broj obrtaja u [Hz] u funkciji napona u [V] na ulazu brzinskog servomotora su prikazani na sl.5. Konstanta baždarenja u [Hz/V] je dobijena kao nagib baždarene prave  $k = \tan \alpha$  povučene metodom najmanjih kvadrata između baždarenih tačaka.



**Slika 5.** Rezultati baždarenja opitnog stola

Rezultati merenja ugaonog položaja i ugaone brzine slobodnim žiroskopom su prikazani na sl.4 (dijagram c). Opis rada žiroskopa i način merenja su prikazani u [1].

Ocena tačnosti merenja žiroskopom se vrši upoređivanjem signala sa sl.4 (dijagram c) sa signalima sa sl.4 (dijagram a i dijagram b). Pravac i smer vertikale žiroskopa je usaglašen sa vertikalom koja je definisana položajem

metalnog pina ispred induktivnog davača 2. Vertikalna žiroskopa odgovara negativnom impulsu na sl.4 (dijagram c), a sedam pozitivnih impulsa po periodi odgovara ugaonim položajima H-tela na svakih  $45^\circ$ . Ugaona brzina izračunata na osnovu ugaonog položaja izmerenog žiroskopom se slaže sa ugaonom brzinom H-tela izmerenom induktivnim davačem 1 i integratorom u granicama relativne greške od  $\pm 0,1\%$ , pri čemu je druga metoda uzeta za referentnu.

Ugaoni položaj se meri žiroskopom sa rezolucijom od  $45^\circ$ , ali se po potrebi može odrediti ugaoni položaj H-tela i sa rezolucijom od  $0.5^\circ$ , obzirom da je poznata promena ugaone brzine.

### Rezultati ispitivanja GIK-a bez sistema za UVP

Ovo ispitivanje se vrši u cilju provere programa rada GIK-a, [1], koji generiše komande i preko mikrokabla šalje sistemom za UVP ka raketni kojih ih izvršava.

Ova ispitivanja obuhvataju:

1. Korekcije komandi :
  - kompenzaciju zemljine teže,
  - ograničenje i korekciju vertikalne komande i
  - odbacivanje premalih komandi i smanjenje prevelikih komandi.
2. Računanje uglova  $\varphi_1$  i  $\varphi_2$ , kada treba uključiti odnosno isključiti izvršne organe sistema za UVP i njihove korekcije s obzirom na trenutni položaj rakete  $\varphi$ , koje obuhvata: izdavanje komande i računanje ugaonog položaja rakete.

Ako komanda može da se izvrši, pored se trenutni ugaoni položaj rakete  $\varphi$  sa uglom  $\varphi_1$  kada komandu treba započeti. Ako je  $\varphi < \varphi_1$ , čeka se da bude  $\varphi = \varphi_1$  i komanda započinje. Komanda se završava kada je  $\varphi = \varphi_2$ . Ako je  $\varphi > \varphi_1$ , komanda odmah započinje i izvršava se samo deo željene komande, a potom izračunava nova vrednost ugla  $\varphi_2$ , simetrična sa  $\varphi_1$  u odnosu na željeni pravac komande, uzimajući u obzir kašnjenje sistema za UVP.

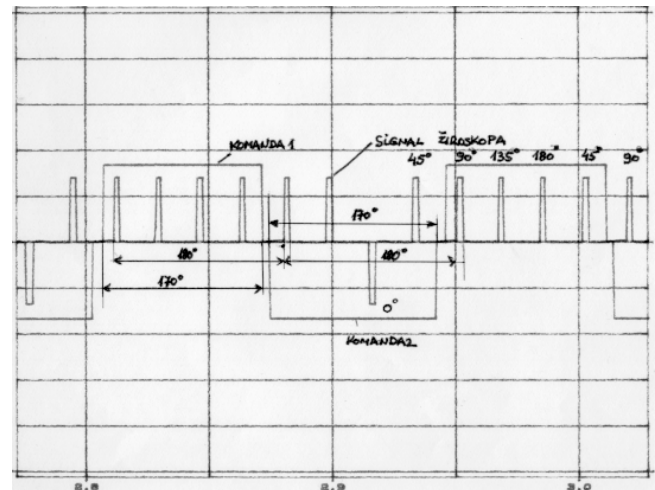
Nove komande se ne primaju u toku izvršenja zadate komande.

Za proveru rada GIK-a razvijen je poseban program koji, sa frekvencijom od 25 Hz, generiše komande na ulazu GIK-a, za promenljivu ugaonu brzinu rakete od 2 Hz do 15 Hz, i otkriva loše izvršene komande na izlazu iz GIK-a.

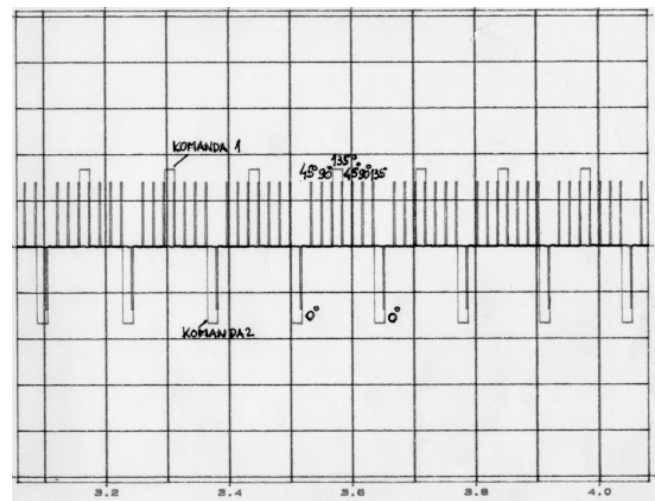
Ilustracije radi, na sl.6 je prikazan primer izvršenja nekoliko komandi:

- a) Na sl.6a je prikazan slučaj ograničenja vertikalne komande  $\varphi_{sr} = 0^\circ$  i  $\varphi_s = 180^\circ$  koja ima koeficijent jedan ( $K = 1$ ), na  $K = 9$  i  $\varphi_s = 170^\circ$ , pri čemu je izvršena korekcija komande u smislu njenog prednjačenja za 7 ms, zbog kašnjenja odziva sistema za UVP pri izvršenju komandi. Komandu za  $\varphi_{sr} = 0^\circ$  izvršava prvi par interceptora, a za  $\varphi_{sr} = 180^\circ$  drugi par interceptora sistema za UVP, [2], pri konstantnoj ugaonoj brzini 7,35 Hz. Pravac komande se meri u odnosu na signal žiroskopa. Prednja ivica negativnog impulsa označava vertikalu ( $0^\circ$ ), a prednje ivice pozitivnih impulsa su na svakih  $45^\circ$  do kraja perioda.
- b) Na sl.6b su prikazane konstantne komande  $\varphi_{sr} = 0^\circ$  i  $\varphi_s = 45^\circ$  pri  $\omega = 7,35$  Hz, koje imaju prednjačenje od 7 ms zbog kašnjenja odziva sistema za UVP.

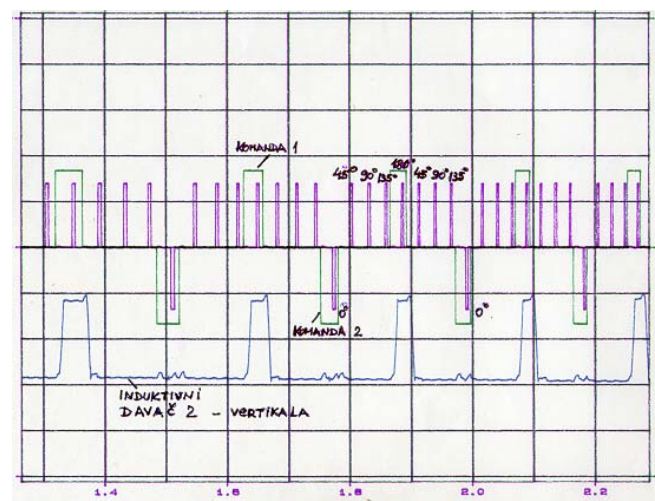
- c) Na sl.6c su prikazane konstantne komande  $\varphi_{sr} = 0^\circ$  i  $\varphi_s = 45^\circ$  pri promenljivoj ugaonoj brzini koje imaju prednjačenje od 7 ms.



a)



b)



c)

Slika 6. Rezultati ispitivanja GIK-a: a) ograničenje vertikalne komande na  $K=0,9$ , pri  $\omega=7,35$  Hz; b)  $\varphi_{sr}=0^\circ$ ,  $\varphi_s=45^\circ$ ,  $\omega=7,35$  Hz; c)  $\varphi_{sr}=0^\circ$ ,  $\varphi_s=45^\circ$ ,  $\omega$  promenljivo

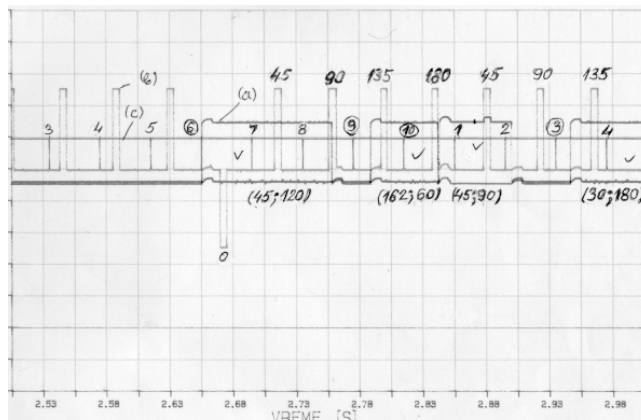
## Rezultati ispitivanja GIK-a sa sistemom za UVP

Ispitivanje GIK-a sa sistemom za UVP se vrši u cilju provere da li su zadate komande na ulazu GIK-a zadržale pravac ( $\varphi_{sr}$ ) i intenzitet ( $\varphi_s$ ) kada ih izvršavaju interceptori sistema za UVP. Na izlazu iz GIK-a se vrši korekcija uglova uključenja i isključenja interceptora uzimajući u obzir vremena kašnjenja: signala od žiroskopa do GIK-a, signala od GIK-a do rakete i sistema za UVP. Kašnjenje signala od žiroskopa do GIK-a i od GIK-a do rakete je manje od 0,5 ms. Kašnjenje sistema za UVP pri izvršenju komandi iznosi oko 6,5 ms, [2], tako da ukupno prednjačenje zadatih komandi na izlazu iz GIK-a iznosi 7 ms.

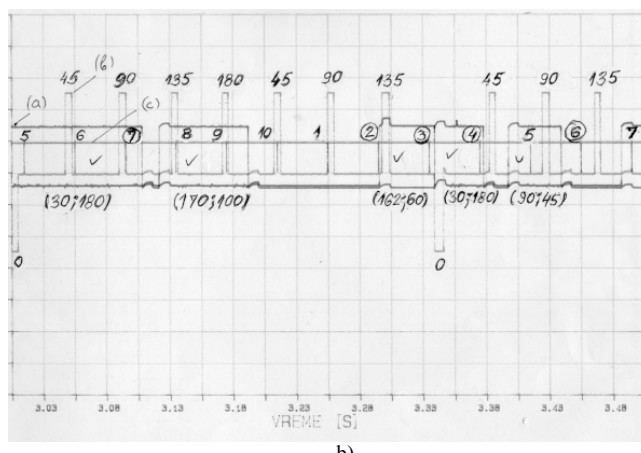
Komande koje sistem za UVP izvršava mere se potenciometrima na interceptorima i preko struja na aktuatorima interceptora, tabela 1.

**Tabela 2.** Komande na ulazu u GIK ( $\varphi_{sr}$ ,  $\varphi_s$ ) i komande na izlazu iz GIK-a ( $\varphi_1$ ,  $\varphi_2$ )

Red.br. merenja	$\varphi_{sr}$ (°)	$\varphi_s$ (°)	$\varphi_1$ (°)	$\varphi_{21-7}$ ms (°)	$\varphi_2$ (°)	$\varphi_{21-7}$ ms (°)
1	99	60	69	61,5	129	115,5
2	162	60	132	124,5	12	4,5
3	30	180	-55	-62,5	115	107,5
4	90	45	67,5	60	112,5	105
5	120	120	60	52,5	180	172,5
6	45	120	-15	-22,5	105	97,5
7	170	100	120	112,5	40	32,5
8	99	60	69	61,5	129	121,5
9	162	60	132	124,5	12	4,5
10	45	90	0	-7,5	90	91,5



a)



b)

**Slika 7.** Komande izmerene na interceptorima sistema za UVP: a) izmerene komande, b) signal žiroskopa, c) interapt komande

U tabeli 2 je dato 10 komandi koje se iz PC-486 i 16-bitnog paralelnog interfejsa (TS-16 - IO) u beskonačnoj petlji šalju na ulaz GIK-a. Na sl.7 su dati primjeri izvršenih komandi koje su izmerene potenciometrima na interceptorima sistema za UVP. Radi lakše interpretacije rezultata merenja komande su izvršene pri konstantnoj rotaciji od 3 Hz. Na sl.7 su prikazane izvršene komande ( $\varphi_1$ ,  $\varphi_2$ ), ugaoni položaj H-tela na signalu žiroskopa i interapt komande računara GIK-a sa periodom od 1 do 10.

Kada se uporede zadate komande iz tabele 2 i izvršene komande sa sl.7, vidi se da su komande izvršene u skladu sa programom rada GIK-a i kompenzacijom kašnjenja sistema za UVP.

## Zaključak

GIK je blok elektronike u UVL koji izdaje komande i preko mikrokabla šalje ka sistemu za UVP.

Blok elektronike GIK-a je realizovan na tri štampane ploče čije su veze i napajanje ostvareni preko osnovne ploče i 64-kontaktnih DIN konektora. Na prvoj štampanoj ploči se nalaze CPU MC 68000, EPROM i RAM sa pripadajućim logičkim sklopovima. Na drugoj štampanoj ploči je realizovan 32-bitni paralelni interfejs za vezu sa računarom lokatora. Na trećoj štampanoj ploči su smešteni jedinica brojača, jedinica komandi i serijski interfejs sa translatorom nivoa.

Instalacija za ispitivanje GIK-a je razvijena radi provere: greške merenja ugla slobodnim žiroskopom i procene ugaone brzine, zadavanje komandi bez sistema za UVP i sa sistemom za UVP pri konstantnoj i promenljivoj ugaonoj brzini rakete.

Ugaona brzina je procenjena sa greškom manjom od 0,1%, a ugaoni položaj se može odrediti sa rezolucijom od 0,5°.

Provera programa rada GIK-a za računanje komandi, bez sistema za UVP, dala je dobre rezultate, a i korekcija komandi zbog kompenzacije kašnjenja sistema za UVP.

## Literatura

- [1] KOBILAREV,M., LAZIĆ,R. Prilog upravljanju protivoklopnim raketama, *Naučnotehnički pregled*, 1998, vol.48, no.1, p.17-23.
- [2] KOBILAREV,M., BEJEOGLORLIĆ,Z. Identifikacija parametara snažnog sistema za upravljanje vektorom potiska protivoklopne rakete, *Naučnotehnički pregled*, 1999, vol.49, no.4, p.3-7.
- [3] KOBILAREV,M., i dr. *Protivoklopni raketni sistem za male daljine BUMBAR*. int. dok. VTI – 03-01-0311, Beograd, 1994.
- [4] MINOVIĆ,S. Odgovor laganorotirajućeg projektila na dejstvo upravljačke povorke širinsko-modulisanih impulsa. *Naučnotehnički pregled*, 1973, vol.23,no.8, p.3-24.
- [5] ĆURČIN,M. *Izbor osnovnih raketodinamičkih veličina protivoklopne vođene rakete za male daljine BUMBAR*. int. dok. VTI – 03-01-0300, Beograd, 1993.
- [6] STEFANOVIĆ,A. i dr. *Eksperimentalno istraživanje izvršnog elementa sistema za upravljanje vektorom potiska – interceptora*. int. dok. VTI – 03-01-0228, Beograd, 1991.